

МОДЕЛЮВАННЯ СТАЦІОНАРНОГО КОНДУКТИВНО-ПРОМЕНЕВОГО ТЕПЛООБМІНУ В КУСКОВО-ОДНОРІДНОМУ ПЛОСКОМУ ШАРІ

Analytical solutions for 1-D stationary problem of radiation-conductive heat transfer in a piecewise-homogeneous layered body under convective and radiation energy exchange with the environment has been obtained within the P_1 -approximation.

Keywords: *piece-wise homogeneous slab, heat conductivity, radiation transport.*

У рамках P_1 -наближення отримано аналітичний розв'язок одновимірної стаціонарної задачі радіаційно-кондуктивного теплообміну в кусково-однорідному шаруватому тілі, що обмінюється теплом із зовнішнім середовищем за променевим та конвективним механізмами.

Ключові слова: *кускОВО-однорідний шар, теплопровідність, перенесення випромінювання.*

Задачі теплообміну в суцільних середовищах за дії кондуктивного, променевого та конвективного механізмів перенесення енергії часто розв'язують у теплофізиці високих температур [7, 8] та різних прикладних дисциплінах – у напівпровідниковій та мікроелектронній технологіях, металургії [3], космічних техніці й технологіях [1], теорії теплофізичних вимірювань [6] тощо.

Проведено [9] дослідження теплообміну у плоско-паралельному шарі за одночасної дії променевого та кондуктивного механізмів. У моделі враховано поглинання та емісію теплового випромінювання середовищем, але не враховано його розсіювання.

У цій статті розглянуто математичну модель кондуктивно-променевого теплообміну в кусково-однорідному тілі, утвореному двома плоскими шарами із різними радіаційними та теплофізичними характеристиками, які перебувають у ідеальному тепловому та радіаційному контакті між собою. У моделі враховано поглинання, розсіювання та емісію ІЧ випромінювання середовищами неоднорідно нагрітих шарів, а також конвективний теплообмін тіла із навколишнім середовищем через одну із його поверхонь. Інша поверхня перебуває у стані ідеального теплового та радіаційного контакту зі стороннім абсолютно чорним тілом, температура T_0 якого задана.

Сформульовану задачу стаціонарного теплообміну розв'язували, використовуючи наближення радіаційної рівноваги та розвинення розв'язку за поліномами Лежандра. Цей підхід приводить до безмежної системи звичайних диференціальних рівнянь, яку розв'язували методом редукції.

У рамках P_1 -наближення для випадку ізотропного розсіювання отримано аналітичний розв'язок задачі. На цій основі проведено кількісні дослідження розподілів температури та потоку випромінювання в кусково-однорідному тілі залежно від теплофізичних і радіаційних характеристик шарів, а також співвідношення їх товщин. Визначено аналітичні залежності температури поверхні тіла та потоку випромінюваної ним ІЧ-енергії, залежно від температури T_0 .

Постановка задачі. Розглянемо тверде тіло у вигляді кусково-однорідного шару, утвореного двома різнорідними шарами з товщинами $2h_1$ та $2h_2$ (рис. 1). Складові 1 та 2 композитного шару є однорідні сірі середовища, які відрізняються між собою теплофізичними та радіаційними властивостями. Зовнішнє середовище, яке заповнює півпростір $y > h_1 + 2h_2$, має фіксовану температуру T_c , не

поглинає і не розсіює ІЧ-випромінювання, у ньому відсутні джерела теплового випромінювання.

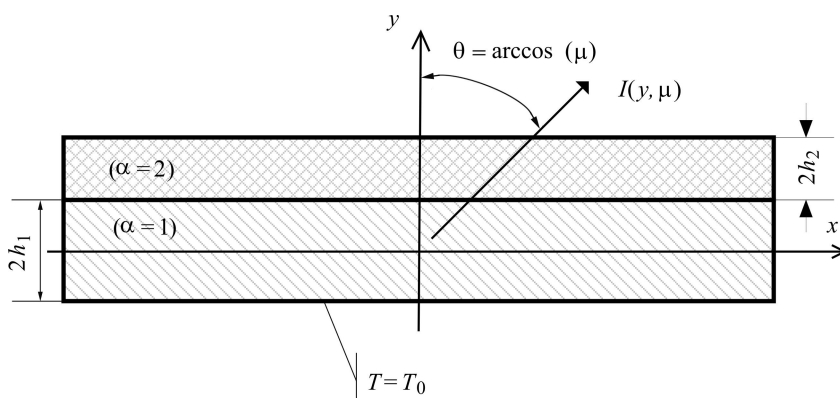


Рис. 1. Система шар-покрив-зонішне середовище.

Нехай на поверхні $y = -h_1$ тіла задана стала температура T_0 , на межі $y = h_1$ середовищ 1 та 2 виконуються умови ідеального теплового контакту, а на поверхні $y = h_1 + 2h_2$ умови конвективного теплообміну.

За таких умов стаціонарні температурні поля $T^{(\alpha)}$, $\alpha = 1, 2$ шарів залежатимуть лише від координати y : $T^{(\alpha)} = T^{(\alpha)}(y)$, $y \in Y^{(\alpha)}$, де $Y^{(1)} = (-h_1, h_1)$, $Y^{(2)} = (h_1, h_1 + 2h_2)$, а інтенсивності випромінювання $I^{(\alpha)}$, $\alpha = 1, 2$ – від координати $y \in Y^{(\alpha)}$ та кута $\theta \in \Theta = [0, 2\pi)$ між напрямом поширення та віссю Oy .

Зведемо задачу до безрозмірних змінних. Для цього виберемо за характерні лінійні розміри в шарах 1 та 2 їхню оптичну товщину $l_\alpha \equiv 1/\beta_\alpha$, де $\beta_\alpha \equiv \kappa_\alpha + \sigma_\alpha$ – інтегральний коефіцієнт послаблення, κ_α та σ_α – коефіцієнти поглинання та розсіювання в шарі α . За характерну температуру виберемо задану температуру T_0 поверхні нагрівання.

Безрозмірну просторову координату $\tau = \beta_1 y \in [-\tau_1, \tau_1]$ для шару 1 введемо як $\tau = \beta_1 y$, де $\tau_1 = \beta_1 h_1$, а для шару 2 як $\tau = \beta_2 (y - h_1 - h_2) \in [-\tau_2, \tau_2]$ де $\tau_2 = \beta_2 h_2$. Введемо також безрозмірні температури $\theta^{(\alpha)} = T^{(\alpha)}/T_0$ та безрозмірні інтенсивності випромінювання $J^{(\alpha)} = I^{(\alpha)}/I_b^{(\alpha)}(T_0)$ в шарах 1 та 2, де $I_b^{(\alpha)}(T^{(\alpha)}) \equiv n_\alpha^2 \bar{\sigma} (T^{(\alpha)})^4 / \pi$, n_α – показник заломлення в шарі α .

Температури шарів $\theta^{(\alpha)}(\tau)$, $\alpha = 1, 2$ за таких умов задовольняють стаціонарні рівняння теплопровідності:

$$d_\alpha \frac{d^2 \theta^{(\alpha)}(\tau)}{d\tau^2} + \int_{-1}^1 J^{(\alpha)}(\tau, \mu) d\mu - 2\theta^{(\alpha)}(\tau)^4 = 0. \quad (1)$$

Тут $d_\alpha \equiv \lambda_\alpha \beta_\alpha^2 / 2\kappa_\alpha n_\alpha^2 \bar{\sigma} T_0^3$, λ_α – коефіцієнт теплопровідності в шарі α , $\bar{\sigma} \equiv 5,6704 \cdot 10^{-8} \text{ W}/(\text{m}^2 \cdot \text{K}^4)$ – стала Стефана Больцмана.

За прийнятих умов теплообміну функції $\theta^{(1)}(\tau)$ та $\theta^{(2)}(\tau)$ задовольняють співвідношення:

$$\begin{aligned}
-\lambda_2\beta_2 \left. \frac{d\theta^{(2)}(\tau)}{d\tau} \right|_{\tau=\tau_2} &= c \left(\theta^{(2)}(\tau) \Big|_{\tau=\tau_2} - \theta_c \right), & \theta^{(1)}(\tau) \Big|_{\tau=\tau_1} &= \theta^{(2)}(\tau) \Big|_{\tau=-\tau_2}, \\
\lambda_1\beta_1 \left. \frac{d\theta^{(1)}(\tau)}{d\tau} \right|_{\tau=\tau_1} &= \lambda_2\beta_2 \left. \frac{d\theta^{(2)}(\tau)}{d\tau} \right|_{\tau=-\tau_2}, & \theta^{(1)}(\tau) \Big|_{\tau=-\tau_1} &= 1.
\end{aligned} \tag{2}$$

Тут $\theta_c \equiv T_c/T_0$, c – коефіцієнт конвективного теплообміну.

Рівняння теплопровідності (1) розглядатимемо разом із рівняннями перенесення випромінювання в шарах 1 та 2, які, із врахуванням його розсіювання, поглинання та емісії середовищем, матимуть такий вигляд:

$$\mu \frac{\partial J^{(\alpha)}(\tau, \mu)}{\partial \tau} + J^{(\alpha)}(\tau, \mu) - \frac{\kappa_\alpha}{\beta_\alpha} \left(\theta^{(\alpha)}(\tau) \right)^4 - \frac{\sigma_\alpha}{2\beta_{\alpha-1}} \int_0^1 p^{(\alpha)}(\mu', \mu) J^{(\alpha)}(\tau, \mu') d\mu' = 0. \tag{3}$$

Тут $p^{(\alpha)}(\mu', \mu)$ – індикатриса розсіювання – ймовірність розсіювання в напрямку $\theta = \arccos \mu$ променя, що поширюється в напрямку $\theta' = \arccos \mu'$.

Нехай поверхня $\tau = -h_1$ є абсолютно чорна, а межа контакту шарів 1 та 2 $\tau = \tau_1 \equiv \beta_1 h_1$, як і вільна поверхня $\tau = \tau_2 \equiv \beta_2 (h_1 + 2h_2)$ шару 2, є абсолютно прозорою. При цьому функції $J^{(\alpha)}(\tau, \mu)$ слід підпорядкувати умовам:

$$\begin{aligned}
J_-^{(2)}(\tau, \mu) \Big|_{\tau=\tau_2} &= 0, & J_+^{(1)}(\tau, \mu) \Big|_{\tau=-\tau_1} &= 1, \\
J_-^{(2)}(\tau, \mu) \Big|_{\tau=\tau_2} &= J_-^{(1)}(\tau, \mu') \Big|_{\tau=\tau_1}, & J_+^{(1)}(\tau, \mu) \Big|_{\tau=\tau_1} &= J_+^{(2)}(\tau, \mu') \Big|_{\tau=\tau_2}, \\
\mu' &= \sqrt{1 - \frac{n_2^2}{n_1^2} (1 - \mu^2)}.
\end{aligned} \tag{4}$$

Тут $J_+^{(\alpha)}(y, \mu) \equiv J^{(\alpha)}(y, \mu)$, $\mu \in (0, 1]$, $J_-^{(\alpha)}(y, \mu) \equiv J^{(\alpha)}(y, \mu)$, $\mu \in [-1, 0)$.

Сформулюємо задачу теплообміну в системі тіло–зовнішнє середовище: знайти функції $\theta^{(1)}(\tau)$, $\tau \in [-\tau_1, \tau_1]$, $\theta^{(2)}(\tau)$, $\tau \in [-\tau_2, \tau_2]$, $J^{(1)}(\tau, \mu)$, $\tau \in [-\tau_1, \tau_1]$, $J^{(2)}(\tau, \mu)$, $\tau \in [-\tau_2, \tau_2]$, $\mu \in [-1, 1]$, $J(\tau, \mu)$, $\tau \in [\tau_2, \infty)$, $\mu \in [0, 1]$, які задовольняють систему рівнянь (1), (3) та умови (2), (4).

Наближення радіаційної рівноваги. Розглянемо випадок радіаційної рівноваги [2], за якого виконується умова:

$$\int_{-1}^1 J^{(\alpha)}(\tau, \mu) d\mu - 2\theta^{(\alpha)}(\tau)^4 = 0. \tag{5}$$

Тоді розв'язок рівнянь (1) за умов (2) матиме такий вигляд:

$$\begin{aligned}
\theta^{(1)}(\tau) &= \frac{\tau(\theta_2 - 1) + \tau_1(\theta_2 + 1) + 2L\tau_2}{2(\tau_1 + L\tau_2)}, \\
\theta^{(2)}(\tau) &= \frac{L(\tau(\theta_2 - 1) + \tau_2(\theta_2 + 1)) + 2\tau_1\theta_2}{2(\tau_1 + L\tau_2)}.
\end{aligned} \tag{6}$$

Тут $L = \lambda_1\beta_1/\lambda_2\beta_2$, а зведена температура на верхній границі 2-го шару θ_2 :

$$\theta_2 = \frac{1 + 2c\theta_c (\tau_2/\lambda_2\beta_2 + \tau_1/\lambda_1\beta_1)}{1 + 2c(\tau_2/\lambda_2\beta_2 + \tau_1/\lambda_1\beta_1)}. \quad (7)$$

Розв'язування рівняння перенесення випромінювання шляхом розв'язування за поліномами Лежандра. Для розв'язування рівняння (3) слід задати певну аналітичну структуру індикатриси розсіювання $p(\mu, \mu')$. Подамо її у вигляді розв'язування за поліномами Лежандра [2]:

$$p^{(\alpha)}(\mu, \mu') = \sum_{n=0}^{\infty} (2n+1) f_n^{(\alpha)} P_n(\mu) P_n(\mu'), \quad (8)$$

де $P_n(\mu)$ – поліном Лежандра порядку n , $f_n^{(\alpha)}$ – матеріальні характеристики середовища α , які визначають його анізотропію розсіювання.

На практиці можна обмежуватися скінченною кількістю членів у розв'язуванні (8) і визначити коефіцієнти $f_n^{(\alpha)}$ на основі експериментальних даних. Оскільки поліноми Лежандра утворюють повну систему функцій, то, вибираючи достатньо велику кількість доданків, можна отримати аналітичне представлення для індикатриси розсіювання $p(\mu, \mu')$ з необхідною точністю.

Розв'язок рівняння (3) також шукатимемо у вигляді розв'язування за поліномами Лежандра:

$$J^{(\alpha)}(\tau, \mu) = \sum_{n=0}^{\infty} \frac{2n+1}{4\pi} P_n(\mu) \psi_n^{(\alpha)}(\tau), \quad (9)$$

де $\psi_n^{(\alpha)}(\tau)$ – невідомі функції, які визначають координатну залежність густини потоку випромінювання.

Підставляючи подання (8), (9) у рівняння (3) та враховуючи ортогональність поліномів Лежандра, одержимо безмежну систему звичайних диференціальних рівнянь стосовно невідомих функцій $\psi_n^{(\alpha)}$ [2]:

$$\begin{aligned} \frac{d\psi_1^{(\alpha)}}{d\tau} + (1 - \omega_\alpha) \psi_0^{(\alpha)} &= 4\pi(1 - \omega_\alpha) \theta^{(\alpha)}(\tau)^4, \\ (n+1) \frac{d\psi_{n+1}^{(\alpha)}}{d\tau} + n \frac{d\psi_{n-1}^{(\alpha)}}{d\tau} + (2n+1) (1 - \omega_\alpha f_n^{(\alpha)}) \psi_n^{(\alpha)} &= 0, \quad n = 1, 2, \dots \end{aligned} \quad (10)$$

P₁-наближення. Систему (10) можна розв'язувати методом редукції, утримуючи скінченну кількість $N+1$ рівнянь. Для цього приймемо $\psi_n^{(\alpha)} = 0 \quad \forall n \geq N+1$. За ізотропного розсіювання $f_1^{(\alpha)} = 1$, а $f_n^{(\alpha)} = 0 \quad \forall n \neq 0$ і можна обмежитися випадком $N=1$, який відомий в літературі [2] як P_1 – наближення. Тоді одержимо таку систему двох рівнянь:

$$\begin{cases} \frac{d\psi_1^{(\alpha)}}{d\tau} + (1 - \omega_\alpha) \psi_0^{(\alpha)} = 4\pi(1 - \omega_\alpha) \theta^{(\alpha)}(\tau)^4, \\ \frac{d\psi_0^{(\alpha)}}{d\tau} + 3(1 - \omega_\alpha f_1^{(\alpha)}) \psi_1^{(\alpha)} = 0. \end{cases} \quad (11)$$

У цьому наближенні густину потоку випромінювання $J^{(\alpha)}(\tau, \mu)$ в областях $\alpha = 1$ та $\alpha = 2$ згідно з (9) визначають через функції $\psi_0^{(\alpha)}(\tau)$ та $\psi_1^{(\alpha)}(\tau)$:

$$J^{(\alpha)}(\tau, \mu) = \frac{1}{4\pi} \left[\psi_0^{(\alpha)}(\tau) + 3\mu\psi_1^{(\alpha)}(\tau) \right]. \quad (12)$$

Звідси випливає, що просторову густину падаючого випромінювання $G^{(\alpha)}(\tau) \equiv 2\pi \int_{-1}^1 J^{(\alpha)}(\tau, \mu) d\mu$ і густину потоку результуючого випромінювання $q_r^{(\alpha)}(\tau) \equiv 2\pi \int_{-1}^1 \mu J^{(\alpha)}(\tau, \mu) d\mu$ визначають через функції $\psi_0^{(\alpha)}(\tau)$ та $\psi_1^{(\alpha)}(\tau)$ як $G^{(\alpha)}(\tau) = \psi_0^{(\alpha)}(\tau)$ та $q_r^{(\alpha)}(\tau) = \psi_1^{(\alpha)}(\tau)$.

З урахуванням цього із системи (11) отримуємо рівняння стосовно просторової густини потоку падаючого випромінювання $G^{(\alpha)}(\tau)$:

$$\frac{d^2 G^{(\alpha)}(\tau)}{d\tau^2} - K_\alpha^2 G^{(\alpha)}(\tau) = -K_\alpha^2 4\pi \theta^{(\alpha)}(\tau)^4, \quad K_\alpha^2 \equiv 3(1 - 1/\beta_\alpha). \quad (13)$$

Граничні умови для рівнянь (13) випливають із умов (4) [1]:

$$\begin{aligned} G^{(1)}(\tau) \Big|_{\tau=\tau_1} - G^{(2)}(\tau) \Big|_{\tau=-\tau_2} &= \frac{2}{3} \left(\frac{dG^{(1)}(\tau)}{d\tau} \Big|_{\tau=\tau_1} - \frac{dG^{(2)}(\tau)}{d\tau} \Big|_{\tau=-\tau_2} \right), \\ G^{(1)}(\tau) \Big|_{\tau=-\tau_1} - \frac{2}{3} \frac{dG^{(1)}(\tau)}{d\tau} \Big|_{\tau=-\tau_1} &= 4\pi, \quad G^{(2)}(\tau) \Big|_{\tau=\tau_2} + \frac{2}{3} \frac{dG^{(2)}(\tau)}{d\tau} \Big|_{\tau=\tau_2} = 0, \\ G^{(1)}(\tau) \Big|_{\tau=\tau_1} - G^{(2)}(\tau) \Big|_{\tau=-\tau_2} &= -\frac{2}{3} \left(\frac{dG^{(1)}(\tau)}{d\tau} \Big|_{\tau=\tau_1} - \frac{dG^{(2)}(\tau)}{d\tau} \Big|_{\tau=-\tau_2} \right). \end{aligned} \quad (14)$$

Розв'язок рівняння (13) є функцією виду

$$G^{(\alpha)}(\tau) = C_\alpha e^{K_\alpha \tau} + C_\beta e^{-K_\alpha \tau} + F_{(\alpha)}(\tau), \quad (15)$$

тут $\alpha = 1, 2, \beta = 3, 4$, а функцію $F_{(\alpha)}(\tau)$ та коефіцієнти C_α, C_β визначають як

$$F_{(\alpha)}(\tau) = 2\pi K \left(e^{K_\alpha \tau} \int e^{-K_\alpha \tau} \left(\theta^{(\alpha)}(\tau) \right)^4 d\tau - e^{-K_\alpha \tau} \int e^{K_\alpha \tau} \left(\theta^{(\alpha)}(\tau) \right)^4 d\tau \right). \quad (16)$$

$$\begin{aligned} C_1 &= \frac{2K_1 e^{-K_1 \tau_2} (r_3 k_m + r_4 k_p) - k_p (r_1 k_m e^{-3K_1 \tau_2} - r_2 k_p e^{K_1 \tau_2})}{K_1 (k_m^2 - k_p^2)}, \\ C_2 &= \frac{2K_2 e^{-K_2 \tau_2} (r_3 k_m + r_4 k_p) - k_m (r_1 k_p e^{-3K_2 \tau_2} - r_2 k_m e^{K_2 \tau_2})}{K_2 (k_m^2 - k_p^2)}, \\ C_3 &= \frac{2K_1 e^{K_1 \tau_2} (r_3 k_p + r_4 k_m) - k_m (r_1 k_m e^{-K_1 \tau_2} - r_2 k_p e^{3K_1 \tau_2})}{K_1 (k_m^2 - k_p^2)}, \\ C_4 &= \frac{2K_2 e^{K_2 \tau_2} (r_3 k_p + r_4 k_m) - k_p (r_1 k_p e^{-K_2 \tau_2} - r_2 k_m e^{3K_2 \tau_2})}{K_2 (k_m^2 - k_p^2)}. \end{aligned} \quad (17)$$

Тут $k_p = 2K_\alpha + 3$, а $k_m = 2K_\alpha - 3$, $r_1 = K_\alpha(F_{(1)}(\tau_1) - F_{(2)}(-\tau_2)) - F'_{(1)}(\tau_1) + F'_{(2)}(-\tau_2)$, $r_2 = K_\alpha(F_{(1)}(\tau_1) - F_{(2)}(-\tau_2)) + F'_{(1)}(\tau_1) - F'_{(2)}(-\tau_2)$, $r_3 = 3F_{(1)}(-\tau_1) - 2F'_{(1)}(-\tau_1) - 12\pi$, $r_4 = 3F_{(2)}(\tau_2) + 2F'_{(2)}(\tau_2)$, $F^{(\alpha)}$ – похідні функцій (16).

За формулою (12) знаходимо інтенсивність випромінювання $J^{(\alpha)}(\tau, \mu)$ та густину потоку результуючого випромінювання:

$$J^{(\alpha)}(\tau, \mu) = \frac{1}{4\pi} \left[G^{(\alpha)}(\tau) - \mu \frac{dG^{(\alpha)}(\tau)}{d\tau} \right], \quad q_r^{(\alpha)}(\tau) = -\frac{1}{3} \frac{dG^{(\alpha)}(\tau)}{d\tau}, \quad (18)$$

де функції $G^{(\alpha)}(\tau)$ визначають за формулами (15)–(17).

Оскільки в області $y > h_1 + 2h_2$ відсутні джерела та стоки ІЧ-випромінювання, то інтенсивність випромінювання J та радіаційний тепловий потік q_r в цій області не залежать від просторової координати. Згідно з (18), кутовий розподіл інтенсивності $J(\mu) \equiv J^{(2)}(\tau_2, \mu)$ та тепловий потік ІЧ-випромінювання $q_r \equiv q_r^{(2)}(\tau_2)$ визначають за формулами:

$$J(\mu) = \frac{1}{4\pi} \left[(1-\mu)C_2e^{K_2\tau_2} + (1+\mu)C_4e^{-K_2\tau_2} + F_{(2)}(\tau_2) - \mu F'_{(2)}(\tau_2) \right], \quad (19)$$

$$q_r = -\frac{1}{3} \left(C_2e^{K_2\tau_2} - C_4e^{-K_2\tau_2} + F'_{(2)}(\tau_2) \right). \quad (20)$$

Числове дослідження теплообміну в кусково-однорідному шарі. З використанням отриманого розв'язку досліджували вплив радіаційних, теплофізичних параметрів та геометрії кусково-однорідного шару на розподіл температури та густини випромінювання в тілі (рис. 2–4).

На рис. 2, 3 наведені координатні залежності густин G (суцільні криві) та q_r (штрихові криві) в шарах за фіксованих температур $T_0 = 2000$ К та $T_c = 450$ К. Тут використана безрозмірна координата $\xi = (y + h_1) / (2(h_1 + h_2))$, нормована на загальну товщину кусково-однорідного шару. Вертикальні штрихові лінії на рисунках позначають межу шарів.

Рис. 2а, б ілюструють вплив значень коефіцієнта розсіювання на параметри G та q_r : криві 1–3 на рис. 2а відповідають значенням $\sigma_1 = (5, 25, 50) \text{ м}^{-1}$, за незмінного $\sigma_2 = 50 \text{ м}^{-1}$, а на рис. 2б – значенням $\sigma_2 = (100, 200, 300) \text{ м}^{-1}$, за незмінного $\sigma_1 = 5 \text{ м}^{-1}$. Залежності розраховані для $\lambda_1 = 50 \text{ W/(м·К)}$, $\lambda_2 = 5 \text{ W/(м·К)}$, $\kappa_1 = 20 \text{ м}^{-1}$, $\kappa_2 = 6 \text{ м}^{-1}$, $h_1/h_2 = 3/2$ та $c = 5 \text{ W/(м}^2\cdot\text{К)}$.

На рис. 2в, г показано вплив коефіцієнта поглинання на параметри G та q_r . Криві 1–3 на рис. 2в відповідають значенням $\kappa_1 = (20, 50, 80) \text{ м}^{-1}$, за незмінного $\kappa_2 = 6 \text{ м}^{-1}$, а на рис. 2г – значенням $\kappa_2 = (6, 12, 18) \text{ м}^{-1}$, за незмінного $\kappa_1 = 20 \text{ м}^{-1}$. Ці залежності розраховані для $\lambda_1 = 50 \text{ W/(м·К)}$, $\lambda_2 = 5 \text{ W/(м·К)}$, $\sigma_1 = 5 \text{ м}^{-1}$, $\sigma_2 = 50 \text{ м}^{-1}$, $h_1/h_2 = 3/2$ та $c = 5 \text{ W/(м}^2\cdot\text{К)}$.

Рис. 2д, е ілюструють вплив теплопровідності шарів на параметри G та q_r : криві 1–3 на рис. 2д відповідають значенням $\lambda_1 = (50, 100, 250) \text{ W/(м·К)}$, за незмінного $\lambda_2 = 5 \text{ W/(м·К)}$, а на рис. 2е – значенням $\lambda_2 = (5, 10, 40) \text{ W/(м·К)}$, за фік-

сованого $\lambda_1 = 50 \text{ W/(m}\cdot\text{K)}$. Залежності розраховані для таких значень: $\sigma_1 = 5 \text{ m}^{-1}$, $\sigma_2 = 50 \text{ m}^{-1}$, $\kappa_1 = 20 \text{ m}^{-1}$, $\kappa_2 = 6 \text{ m}^{-1}$, $h_1/h_2 = 3/2$ та $c = 5 \text{ W/(m}^2\cdot\text{K)}$.

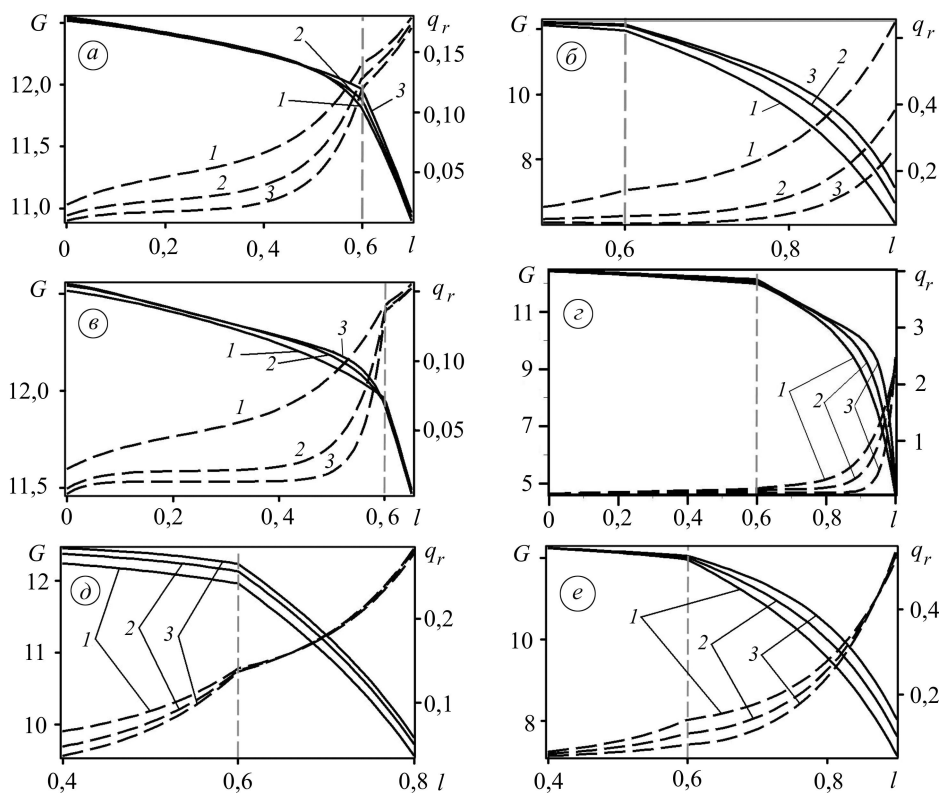


Рис. 2. Вплив радіаційних та теплофізичних характеристик на безрозмірні параметри просторової густини потоку G та густини потоку результуючого випромінювання q_r .

На рис. 3 показано вплив відношення товщин шарів на параметри G та q_r , якщо $T_0 = 2000 \text{ K}$. Криві 1–3 відповідають значенням $h_1/h_2 = 4, 7/3, 3/2$.

На рис. 4 зображено залежності конвективної q_c , радіаційної q_r складових потоку тепла та інтенсивності випромінювання I ($\mu = 1$) з поверхні тіла, від температури нагрівання T_0 .

Залежності рис. 3, 4 розраховані для значень $\lambda_1 = 50 \text{ W/(m}\cdot\text{K)}$, $\lambda_2 = 5 \text{ W/(m}\cdot\text{K)}$, $\sigma_1 = 5 \text{ m}^{-1}$, $\sigma_2 = 50 \text{ m}^{-1}$, $\kappa_1 = 20 \text{ m}^{-1}$, $\kappa_2 = 6 \text{ m}^{-1}$, $c = 5 \text{ W/(m}^2\cdot\text{K)}$, $T_c = 450 \text{ K}$.

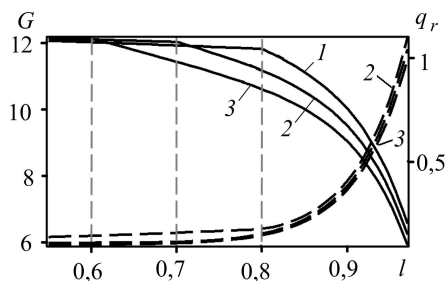


Рис. 3.

Рис. 3. Вплив відношення товщин шарів на розподіли безрозмірних параметрів G та q_r .

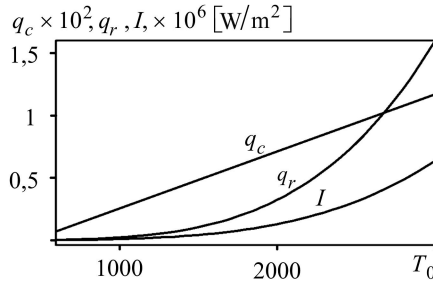


Рис. 4.

Рис. 4. Залежність від температури T_0 конвективної q_c , радіаційної q_r складових потоку тепла та інтенсивності випромінювання I ($\mu = 1$) з поверхні тіла.

ВИСНОВКИ

У наближенні радіаційного рівноваги, в рамках P_1 -наближення отримані аналітичні залежності, які визначають стаціонарні температурне поле та інтенсивність потоку випромінювання в кусково-однорідному шаруватому тілі, а також інтенсивність випромінювання та радіаційний тепловий потік поза його межами залежно від температури нагрівання T_0 , теплофізичних та радіаційних властивостей його матеріалу і відношення товщин шарів. Проведені кількісні дослідження виявили істотну залежність параметрів теплового випромінювання в тілі та поза його межами від теплофізичних і радіаційних властивостей шарів, відношення їх товщин, а також від температури нагрівання T_0 . Отримані формули (7), (19) та (20) можна використати для розроблення безконтактного методу вимірювання температури тіла (шар 1) через теплоізоляційний шар 2 з використанням як інформативних параметрів температури T_2 поверхні теплоізоляційного шару, який охолоджується конвективно, а також інтенсивності випромінювання $J(\mu)$ та потоку ІЧ-випромінювання q_r з цієї поверхні.

У подальших дослідженнях буде враховано вплив поглинання, розсіювання та емісію ІЧ-радіації на вільній поверхні тіла та поверхні розділу різнорідних середовищ, а також відхилення від умови радіаційної рівноваги.

1. Мокрецова И. А., Зуев А. В. Математическое моделирование и оптимизация процесса теплопереноса в многослойных теплозащитных покрытиях многоразовых космических аппаратов // ВИАМ. – 2012. – С. 1–10.
2. Оцирик М. Н. Сложный теплообмен. – М.: Мир, 1976. – 605 с.
3. Скуратов А. П. Вопросы математического моделирования сложного теплообмена в высокотемпературных технологических установках цветной металлургии // Сибирский федеральный университет. – 2012. – С. 1–13.
4. Dombrovskii L. A. Approximate Methods for Calculating Radiation Heat Transfer // Thermal Engineering. – 1996. – № 3. – P. 235–243.
5. Discrete ordinates solution of coupled conductive radiative heat transfer in a two-layer slab with Fresnel interfaces subject to diffuse and obliquely collimated irradiation / C. Muresan, R. Vaillon, C. Menezo, R. Morlot // J. Quantitative Spectroscopy & Radiative Transfer. – 2004. – № 84. – P. 551–562.
6. Raghu V. Infrared thermography // Croatia. – 2012. – P. 236.
7. Siegel R., Howell J., Howell J. R. Thermal radiation heat transfer. – N.Y.: Taylor & Francis, 2009. – P. 857.
8. Tien C. L., Chen G. Challenges in microscale conductive and radiative heat transfer // J. of Heat Transfer. – 1994. – № 3. – P. 799–807.
9. Simultaneous radiation and conduction heat transfer in a graded index semitransparent slab with gray boundaries / L. Xia, Y. Huang, H. Tan, X. Zhang // Int. J. of Heat and Mass Transfer. – 2002. – № 45. – P. 2673–2688.